

## ارزیابی تأثیر مورفومتری لندفرم‌ها بر روی سیل خیزی حوضه‌های آبریز (مطالعه‌ی موردی: حوضه‌های شمالی کوهستان سبلان)

ابراهیم بهشتی‌جاوید<sup>۱</sup>

فریبا اسفندیاری درآباد<sup>۲\*</sup>

شهرام رostaیی<sup>۳</sup>

### چکیده

یکی از مسائل مطرح در هیدرولوژی یک منطقه تولید رواناب و مساله سیل خیزی است. لندفرم‌ها با توجه به مورفومتری که دارند نقش مهمی را در ایجاد رواناب و سیل خیزی ایفا می‌کنند. در این پژوهش با استفاده از استخراج لندفرم‌ها و لایه‌های کاربری زمین، پوشش‌گیاهی، جنس سازندها، بارش و کاربری زمین اقدام به پهنه‌بندی سیل خیزی در دامنه‌های شمالی سبلان شده است تا از این طریق اثرات مورفومتری لندفرم‌ها در هیدرولوژی منطقه بررسی شود. برای استخراج لندفرم‌ها از روش شیگرا در محیط نرمافزار Ecognition استفاده شد. ترکیب این لایه با لایه‌های کاربری زمین، تراکم پوشش‌گیاهی، جنس سازندها، بارندگی و تراکم شبکه‌ی آبراهه با استفاده از روش منطق فازی صورت گرفت و نقشه‌ی پهنه‌بندی پتانسیل سیل خیزی برای منطقه به دست آمد. نتایج کار نشان داد در بین ۱۴ لندفرم استخراج شده برای منطقه سه لندفرم دره‌های کوچک کوهستانی، شانه‌خطالراس و دامنه‌ی مستقیم، بیشترین تأثیر را در سیل خیزی دارند و به ترتیب  $67/3$ ،  $62/9$  و  $53/2$  درصد از سطح آنها به عنوان زمین‌های با سیل خیزی زیاد و خیلی زیاد پهنه‌بندی شده است. در مقابل لندفرم‌های از نوع دشتی و چاله‌ها

۱- دانشجوی دکتری ژئومورفولوژی، دانشگاه محقق اردبیلی، اردبیل، ایران.

۲- دانشیار و عضو هیئت علمی دانشگاه محقق اردبیلی، اردبیل، ایران (نویسنده مسئول).

E-mail:fariba.darabadi@gmail.com

۳- استاد و عضو هیئت علمی دانشگاه تبریز، تبریز، ایران.

به صورت مناطق کم خطر از نظر سیل خیزی پنهانی شدند. با توجه به نتایج به دست آمده از پژوهش می‌توان گفت تولید رواناب و سیل خیزی در سطح زمین به شدت تحت تأثیر مورفومتری لندرفرم‌ها قرار دارد که در کنار سایر پارامترهای محیطی می‌تواند در مطالعه هیدرولوژی مناطق بسیار مفید باشد.

**کلمات کلیدی:** لندرفرم، مورفومتری، هیدرولوژی، Ecognition، سبلان.

#### مقدمه

ژئومورفومتری علم تحلیل‌های کمی از سطح زمین و لندرفرم‌ها است (پاییک<sup>۱</sup>، ۱۹۹۵؛ راسمون و همکاران<sup>۲</sup>، ۲۰۰۴). این علم یک شاخه‌ی علمی میان رشته‌ای است که ریاضیات، علوم زمینی و علوم جدید کامپیوتراً را در بر می‌گیرد (پاییک و همکاران، ۲۰۰۸). در سال ۱۹۷۲ ایوانس برای اولین بار دو نوع اساسی تحلیل‌های ژئومورفومتریک را تشخیص داد، یکی تحت عنوان ژئومورفومتری ویژه که اشکال سطحی مجزا (لندرفرم‌ها) را بررسی می‌کند و دیگری ژئومورفومتری عمومی که با سطوح پیوسته زمین سروکار دارد. از این رو می‌توان گفت مورفومتری لندرفرم‌ها به خودی خود صرف‌نظر از استفاده یا عدم استفاده از داده‌های دیجیتالی به صورت منطقی به عنوان بخشی از ژئومورفولوژی کمی مطرح است (تورن<sup>۳</sup>، ۱۹۸۸؛ اسچیدگر<sup>۴</sup>، ۱۹۹۱؛ لئوپلدو همکاران<sup>۵</sup>، ۱۹۹۵؛ رادس<sup>۶</sup> و تورن، ۱۹۹۶). شکل زمین همچون لندرفرم‌ها، در جریان سطوح آبی، انتقال رسوبات، تولید خاک و تعیین اقلیم در مقیاس‌های محلی و منطقه‌ای اثر می‌گذارد، علاوه بر این پدیده‌های طبیعی مثل پوشش‌گیاهی مستقیماً توسط الگوی لندرفرم‌ها و موقعیت نسبی

1- Pike

2- Rasemann et al.,

3- Thorn

4- Scheidegger

5- Leopold et al.,

6- Rhoads

آنها در میان چشم‌اندازه‌ها متأثر هستند (پلاش زینسکی<sup>۱</sup>، ۱۹۹۷؛ بلاشک و استروبول<sup>۲</sup>، ۲۰۰۳). سطح زمین به صورت لندفرم‌هایی که حاصل انباست تأثیر فرایندهای ژئومورفولوژیکی، زمین‌شناسی، هیدرولوژیکی، اکولوژیکی و خاک است در طول زمان پی‌ریزی شده است (مک‌میلان و شری، ۲۰۰۸). لندفرم‌ها شرایط حدی را برای فرایندهای عملگر در زمینه ژئومورفولوژی، هیدرولوژی، اکولوژیکی و سایر علوم تعیین می‌کنند (دیکائو، ۱۹۸۹، دیکائو و همکاران<sup>۳</sup>، ۱۹۹۵، پایک، ۲۰۰۰، دن و همکاران<sup>۴</sup>، ۲۰۰۱). از این رو مطالعه لندفرم‌ها در ژئومورفولوژی بسیار مهم و حائز اهمیت است. روش‌های مختلفی جهت شناسایی و طبقه‌بندی لندفرم‌ها وجود دارد. امروزه استخراج نیمه‌اتوماتیک لندفرم‌ها با استفاده از انواع مدل‌های سطح زمین همچون، مدل رقومی ارتفاع زمین، گرادیان شبیب و انحنا از مطالعات ویژه در ژئومورفولوژی، هیدرولوژی و علوم مشابه است (ایسانک و همکاران<sup>۵</sup>، ۲۰۱۰). ترسیم و طبقه‌بندی لندفرم‌ها با استفاده از مدل‌های سطح زمین به دلیل تغییرات طبیعی مرز بین لندفرم‌ها از چالش‌های اساسی در این علوم است (فیشر و همکاران<sup>۶</sup>، ۲۰۰۴؛ مارک و اسمیت<sup>۷</sup>، ۲۰۰۴). یکی از روش‌هایی که امروزه در طبقه‌بندی لندفرم‌ها کاربرد روز افزونی دارد روش شی‌گرا است. در این پژوهش با استفاده از روش شی‌گرا و نرم‌افزار Ecognition شناسایی و طبقه‌بندی لندفرم‌های دامنه شمالی سبلان به جهت بررسی تأثیر آنها در سیل خیزی این منطقه مورد مطالعه قرار گرفته است. این منطقه به دلیل برخورداری از رودخانه‌های سیل خیزی همچون مشگین‌چای و خیاوچای همواره به عنوان یک منطقه سیل خیز در استان مطرح بوده است.

1- Blas zczynski

2- Blaschke and Strobl

3- Dikau et al.,

4- Dehn et al.,

5- Eisank et al.,

6-Fisher

7- Mark &amp; Smith

در رابطه با طبقه‌بندی و شناسایی لندفرم‌ها کارهای مختلفی انجام شده که به برخی از آنها اشاره می‌شود. فروغی فر و همکاران (۱۳۹۰) در پژوهشی تأثیر واحدهای لندفرم بر توزیع فراوانی و تغییرات مکانی ویژگی‌های بیولوژیکی خاک را در دشت تبریز مورد مطالعه قرار دادند. نتایج نشان داد که وابستگی مکانی خصوصیات بیولوژیکی خاک بیشتر تحت تأثیر عوامل غیرذاتی و مدیریتی مانند نوع کاربری، شخم و آبیاری می‌باشد. شایان و همکاران (۱۳۹۱) کارایی شاخص‌های ژئومورفومتریک در طبقه‌بندی لندفرم‌های مناطق خشک را با استفاده از روش وود مورد ارزیابی قرار دادند. نتایج طبقه‌بندی نشان داد سطوح دشتی و صاف با  $49/8$  درصد بیشترین سطح را به خود اختصاص داده و خطالراس و دره‌ها در ردیف بعدی قرار دارند. ستونپاتی و همکاران<sup>۱</sup> (۲۰۱۲) در پژوهشی لندفرم‌های هیدرولوژیکی حوضه‌ی رودخانه‌ی پوناییار را مورد مطالعه قرار دادند. در این پژوهش آنها از تکنیک‌های سنجش از دوری و GIS استفاده کرده و در نهایت نقشه‌ی هیدرولوژی مورفولوژی منطقه را تهیه کردند. پدرسن<sup>۲</sup> (۲۰۱۵) با استفاده از روش شی‌گرا لندفرم‌های آتشفسانی-یخچالی را مورد مطالعه قرار داد. او در این تحقیق لاواها و دشت‌های موجود در منطقه‌ای از ایسلند را مورد شناسایی قرار داده و نقشه‌ی آن را تهیه کرد. پیلویان و همکاران<sup>۳</sup> (۲۰۱۷) در پژوهشی با استفاده از روش نیمه‌خودکار لندفرم‌های حوضه‌ی آرمنیا<sup>۴</sup> را مورد شناسایی قرار دادند. نتایج پژوهش به صورت یک نقشه از لندفرم‌های منطقه ارائه شد که نشانگر توپوگرافی عمومی منطقه و مشخصات لندفرم‌های آن است. چاتاراج و همکاران<sup>۵</sup> (۲۰۱۷) در پژوهشی با استفاده از روش شی‌گرا لندفرم‌های بخشی از فلات هند مرکزی را مورد طبقه‌بندی قرار دادند. نتایج پژوهش نشان داد لندفرم‌های فرسایشی در منطقه نسبت به لندفرم‌های نهشته‌ای غلبه دارند. همچنین بررسی صحت طبقه‌بندی انجام شده با استفاده از یافته‌های زمینی نشانگر

1- Sethupathi et al.,

2- Pedersen

3- piloyan et al.,

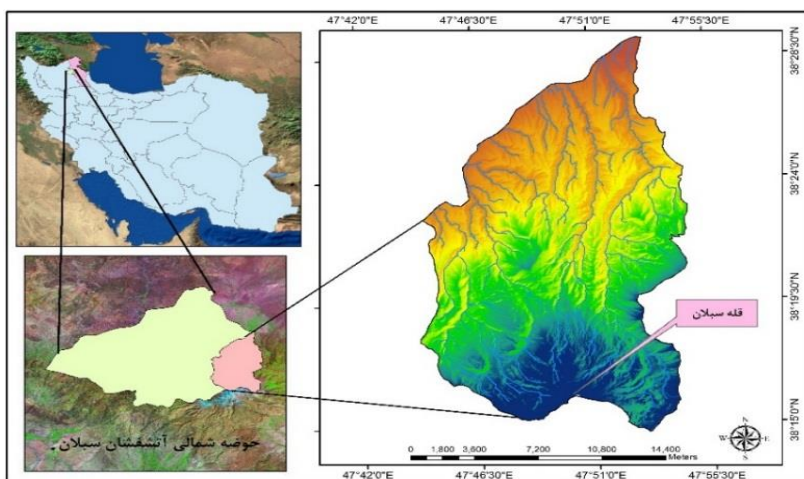
4- Armenia

5- chattaraj et al.,

دقت بالای یافته‌ها بود. با توجه به جمع‌بندی صورت گرفته از پیشینه پژوهش می‌توان گفت در مطالعات صورت گرفته در مورد لندفرم‌ها به جنبه‌های کاربردی آن‌ها در زمینه هیدرولوژی و سیل خیزی توجه زیادی نشده است و بیشتر تأکید بر روی انتخاب روش‌های مختلف و کاربرد آن‌ها در جهت شناسایی لندفرم‌ها بوده است. در این پژوهش سعی شده با شناسایی لندفرم‌ها تأثیری که این عوارض می‌توانند در سیل خیزی داشته باشند مورد مطالعه قرار گرفته است.

### منطقه‌ی مورد مطالعه

منطقه‌ی مورد مطالعه در این تحقیق حوضه‌های آبریز دامنه‌های شمالی سبلان است که در موقعیت  $38^{\circ} 1' \text{ تا } 47^{\circ} 0'$  شرقی و  $11^{\circ} 54' \text{ تا } 38^{\circ} 29'$  شمالی قرار گرفته است (شکل ۱). آتشفسان سبلان دارای امتداد غربی شرقی بوده و از سه قله بلند آتشفسانی تشکیل شده است. بیشترین ارتفاع منطقه برابر با ۴۸۱۱ متر از سطح دریا است. شیب زمین در دامنه‌ی شمالی بسیار تند است. این منطقه از گذاره‌های آتشفسانی از نوع بازالت که در چندین مرحله بیرون ریخته تشکیل شده است (طالقانی ۱۳۸۸).



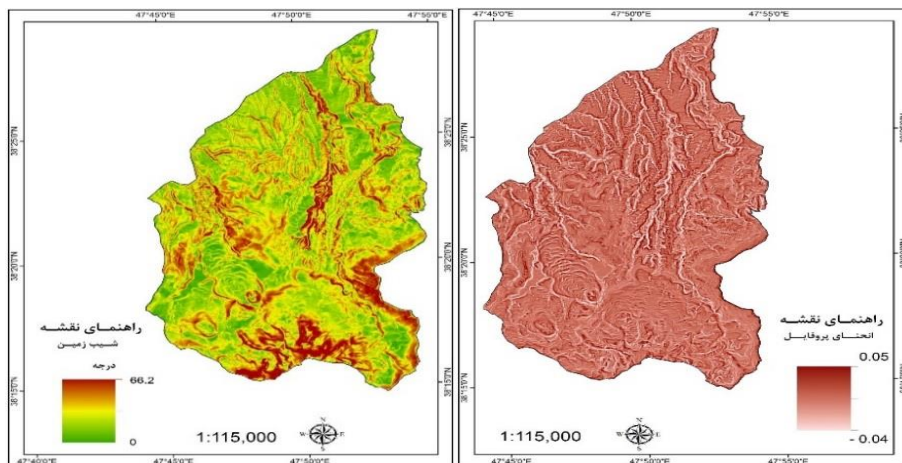
شکل (۱) نقشه‌ی موقعیت منطقه‌ی مورد مطالعه

## مواد و روش‌ها

در این مطالعه لایه‌ی مدل رقومی ارتفاعی زمین به عنوان یکی از اساسی‌ترین داده‌ها مورد استفاده قرار گرفته است. برای تهیه‌ی این لایه از نقشه‌های توپوگرافی ۱:۲۵۰۰۰ منطقه استفاده شد و در نهایت لایه‌ی DEM منطقه با اندازه‌ی سلول ۱۰ متری تهیه شد. برای نمایش مورفومتری زمین لایه‌های شبیه‌زمین، انحنای پروفایل و انحنای پلان<sup>۱</sup>، انحنای حداکثر و انحنای حداقل<sup>۲</sup> پنج لایه‌ی اصلی برای استخراج لندرفرم‌ها هستند که با استفاده از نرم‌افزار SAGAGIS از لایه‌ی مدل رقومی ارتفاعی زمین استخراج شدند. ترکیب این پنج لایه با هم باعث ایجاد ۱۵ لندرفرم عمومی در سطح زمین می‌شود که دارای ویژگی‌های منحصر بفردی از نظر مورفومتری هستند. در شکل‌های شماره‌ی (۲) تا (۶) پنج لایه استفاده شده در استخراج لندرفرم‌ها نمایش داده شده است. لایه‌های کاربری زمین، تراکم پوشش گیاهی، بارش، تراکم شبکه‌ی آبراهه و سنگ‌شناسی از دیگر لایه‌هایی هستند که در ارزیابی وضعیت هیدرولوژیکی حوضه به کمک لایه‌های مورفومتری زمین آمده است. برای به دست آوردن تراکم پوشش گیاهی از تصاویر ماهواره لندرست و شاخص NDVI استفاده شده (شکل ۷)، لایه‌ی سنگ‌شناسی از نقشه‌های زمین‌شناسی ۱:۱۰۰۰۰۰ منطقه تهیه شده است (شکل ۸) و برای تهیه‌ی لایه‌ی کاربری زمین از لایه‌های رقومی سازمان منابع طبیعی و آبخیزداری کمک گرفته شده است (شکل ۱۰). اشکال شماره‌ی (۱۰) و (۱۱) لایه بارش و تراکم شبکه‌ی آبراهه را در منطقه نشان می‌دهد.

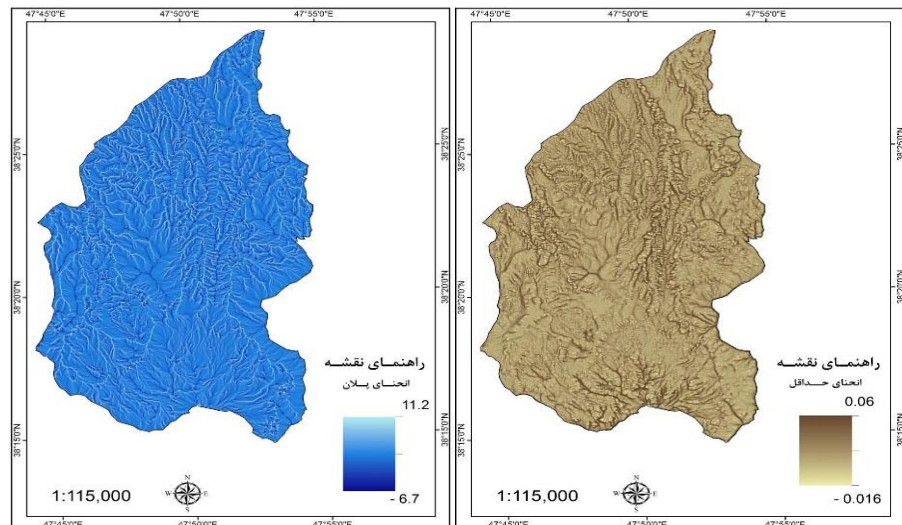
1- profile and plan curvature

2- maximum and minimum curvature



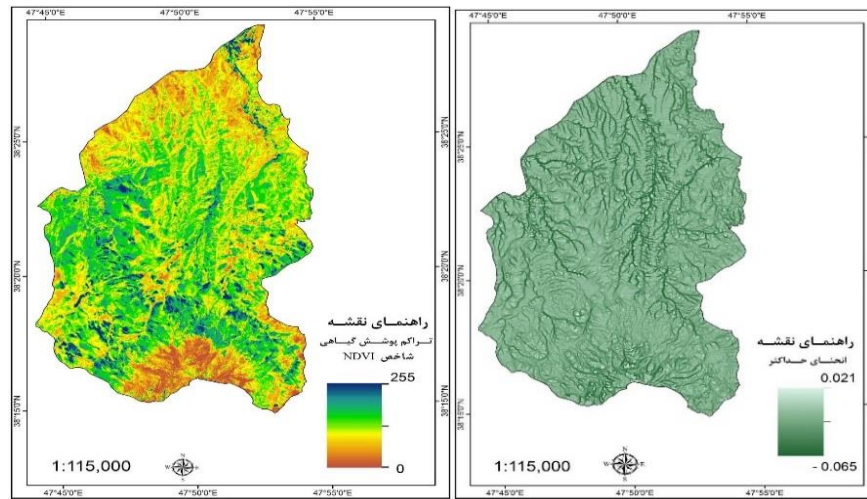
شکل (۳) لایه انحنای پروفایل

شکل (۴) لایه شیب زمین



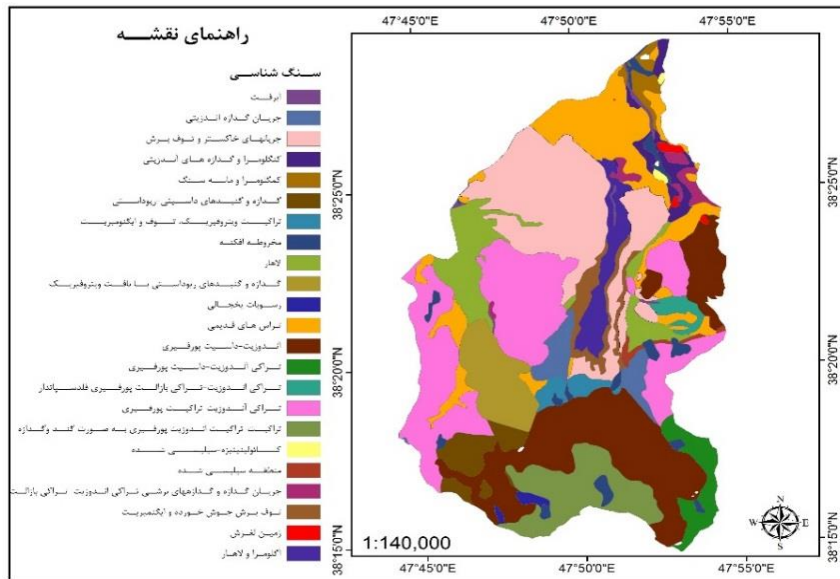
شکل (۵) لایه‌ی انحنای پلان

شکل (۶) لایه‌ی اعنای حداقل

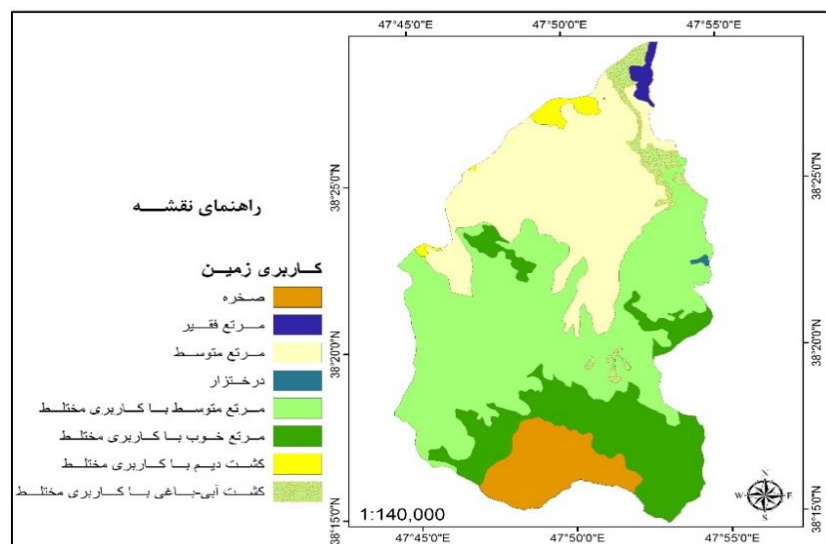


شکل (۷) لایه‌ی تراکم پوشش گیاهی

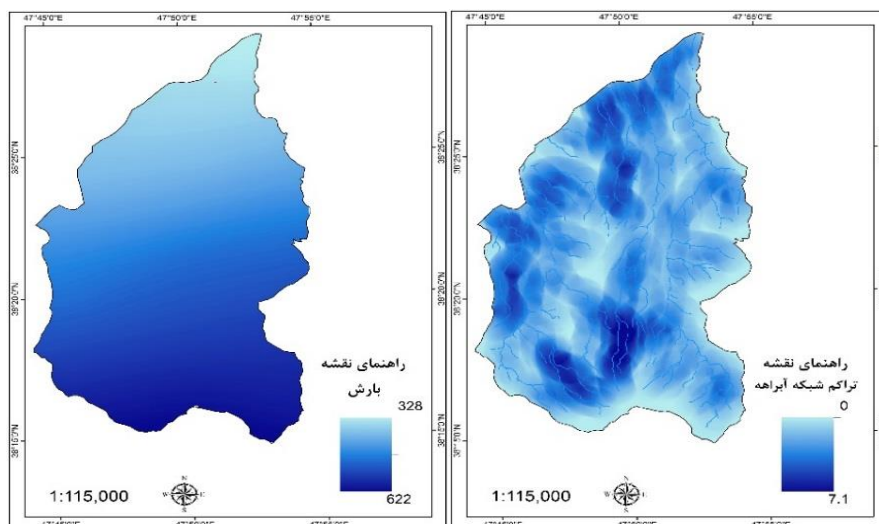
شکل (۶) لایه‌ی انحنای حداقل



شکل (۸) لایه‌ی سنگ‌شناسی



شکل (۹) لایه‌ی کاربری زمین

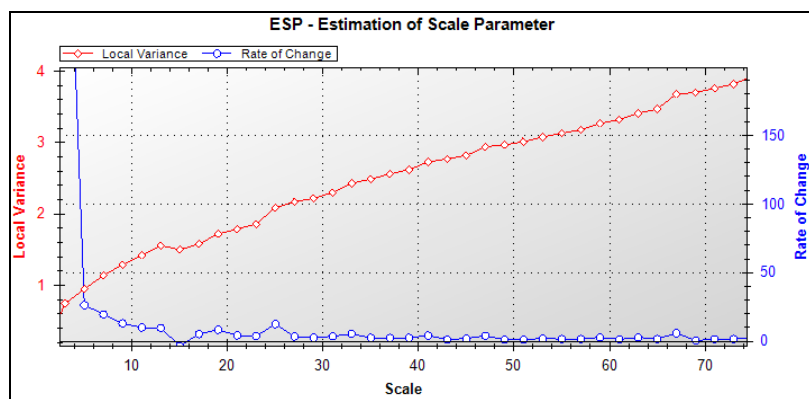


شکل (۱۱) لایه‌ی تراكم شبکه‌ی آبراهه

شکل (۱۰) لایه‌ی بارش

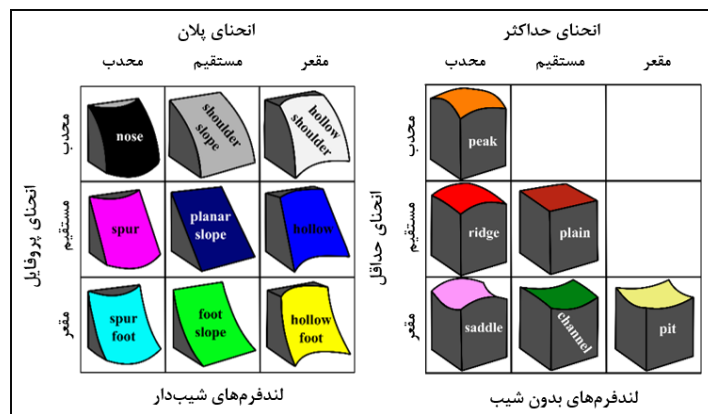
با توجه به هدف اتخاذ شده در این پژوهش، نیاز به شناسایی لندرم‌های عمومی منطقه‌ی مورد مطالعه است. برای انجام این کار از روش شی‌گراء و نرم‌افزار Ecognition استفاده شده است که یک روش نیمه‌اتوماتیک محسوب می‌شود. در روش شی‌گرا سلول‌های یک تصویر با توجه به اطلاعات طیفی، بافت و زمینه در شی‌های همگن خوشبندی می‌شوند که این اشکال طبقه‌بندی شده می‌توانند ژئومورفولوژیکی باشند (سیجمونبرگ، ۲۰۱۲). در روش شی‌گرا تعیین آستانه‌ی مقیاس پارامتری بسیار مهم برای جداسازی شی‌های مختلف در یک تصویر است، اندازه‌ی مقیاس تعیین شده برای سگمنت‌سازی تأثیر مستقیمی در اندازه‌ی اشکال استخراج شده دارد. برای تعیین مقیاس مناسب جهت جداسازی شی‌ها از روش آزمایش و خطأ استفاده می‌شود (گرچک<sup>۱</sup>، ۲۰۱۰). یک روش جدید برای انجام این کار استفاده از روش دراگوت و همکاران<sup>۲</sup> (۲۰۱۰) است. آنها برای ارزیابی دینامیک واریانس از یک سطح مقیاس به سطحی دیگر نرخ تغییرات واریانس موضعی (ROC-LV) را معرفی کردند. به وسیله‌ی تفسیر آستانه‌ها و قله‌های اصلی در نمودار ROC-LV می‌توان مشخصات مقیاس را نسبت به مشخصه داده‌ها در یک سطح چشم‌انداز پیدا کرد (دراگوت و همکاران، ۲۰۱۰). منحنی فوق برای منطقه با استفاده از نرم‌افزار ESP در ۱۰۰ سطح مقیاس تهیه شد، تفسیر منحنی برای تعیین مقیاس علاوه بر روش فوق با توجه به نوع و اندازه لندرم‌های در نظر گرفته شده، با استفاده از روش آزمایش- خطأ و مقایسه و انطباق با یافته‌های میدانی در نهایت مقیاس ۲۵ برای سگمنت‌سازی انتخاب شد.

1- Gerçek et al.,  
2- Drăguța



شکل (۱۲) نمودار ROC-LV به دست آمده از نرم‌افزار ESP

مراحل مربوط به استخراج و شناسایی لندفرم‌ها در محیط نرم‌افزار Ecognition انجام شد برای انجام این کار از دسته‌بندی که دیکائو (۱۹۸۹) برای شناسایی و طبقه‌بندی لندفرم‌ها ارائه کرده استفاده شده است (شکل ۱۳).



شکل (۱۳) لندفرم‌های عمومی پیشنهادی توسط دیکائو (۱۹۸۹)

برای پهنگ‌بندی پتانسیل سیل خیزی از مدل منطق فازی استفاده شده است. نظریه‌یی مجموعه‌های فازی بر منطق فازی استوار بوده و اساساً به منظور اقدام در شرایط ابهام

ارائه گردیده است. هر فرد هم‌زمان در مجموعه‌های مختلف ولی به درجات متفاوت عضویت دارد. درجات عضویت مقادیر بین صفر و یک و نیز خود این دو حد را می‌پذیرد (ون آلن، استرايجل<sup>۱</sup>، ۲۰۰۰). این نظریه در برابر منطق کلاسیک مطرح شده است که هر چیز را بر اساس یک سیستم دودویی نشان می‌دهد (درست یا غلط، صفر یا یک، سیاه یا سفید). روش فازی یک روش مناسب جهت تعیین عملکرد لایه‌ها و اثرگذاری آنها در یک پدیده است، توابع عضویت فازی از ابزارهای مهم جهت انجام این کار است. از طریق این توابع و نوع پارامتر مورد استفاده، هم تأثیر لایه‌ها در پدیده تعیین می‌شود و هم لایه‌هایی که دارای مقیاس‌های اندازه‌گیری متفاوتی هستند استانداردسازی شده و در بازه‌ی ۰ تا ۱ قرار می‌گیرند. در این پژوهش لایه‌های به کار رفته در پهنگندی با استفاده از توابع عضویت فازی، استانداردسازی شده و در نهایت با گام‌ای فازی روی‌هم‌گذاری شدند.

## بحث و نتایج

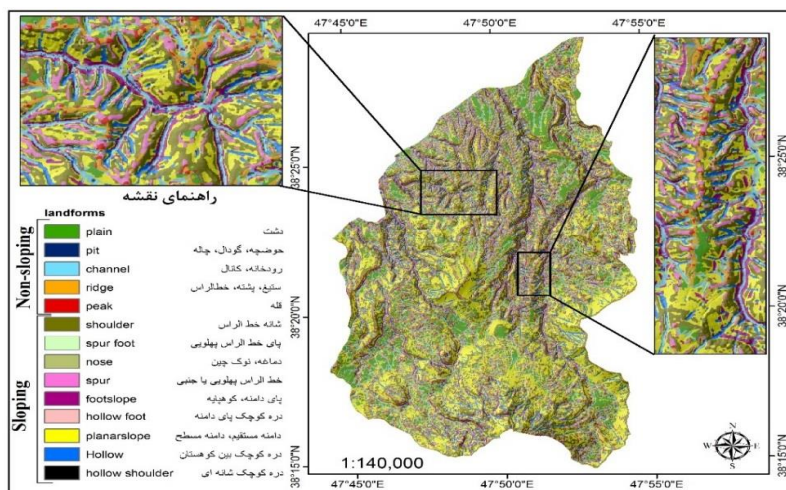
بررسی تأثیر مورفومتری لندرم‌ها در سیل‌خیزی از اهداف اصلی این پژوهش است. با بررسی انجام شده از طریق روش آزمایش خطاب بر روی داده‌ها و تحلیل نمودار ROC-LV مقیاس ۲۵ برای سگمنت‌سازی لایه‌ها انتخاب شد و از طریق آستانه‌گذاری و تعریف مجموعه قوانین لندرم‌ها شناسایی شدند. طبق مدل پیشنهادی دیکائو (۱۹۸۹) در منطقه‌ی مورد مطالعه ۱۴ لندرم اصلی شناسایی شدند که عبارتند از: قله، دشت، کانال آب یا رودخانه، چاله و خط‌الراس، شانه خط‌الراس، پای خط‌الراس جانبی، خط‌الراس پهلویی یا جانسی، دماغه، دره کوچک بین کوهستان، دره کوچک پای دامنه، دره کوچک شانه‌ای، دامنه‌های مسطح شیب‌دار و کوهپایه. این لندرم‌ها از ترکیب پنج پارامتر احنای پلان، احنای پروفایل، احنای حداکثر، احنای حداقل و شیب زمین ایجاد شده‌اند. احنای پروفایل که در واقع بیانگر نوع خمیدگی دامنه در امتداد جهت شیب است وضعیت زمین را از نظر نگهداشت آب (احنای مقعر) و یا پخش آن (احنای

1- Van alen, Striegel

مستقیم و محدب) مشخص می‌کند و تأثیر زیادی در حجم رواناب تولیدی دارد. لایه‌ی اanhنای پلان از دیگر لایه‌های اصلی شناسایی نوع لندفرم‌هاست. این لایه خمیدگی سطح زمین را در راستای عمود بر امتداد جهت شیب نشان می‌دهد. این ویژگی در سطح زمین باعث همگرایی و یا واگرایی جریانات آب سطحی می‌شود. بر اساس نوع اanhنا در این لایه نواحی که دامنه‌ها دارای اanhنای محدب هستند باعث واگرایی و پخش آب‌های سطحی می‌شوند و بر عکس نواحی که دارای اanhنای مقعر هستند باعث تمرکز رواناب‌ها شده و سرعت ایجاد رواناب را افزایش می‌دهند. لایه اanhنای حداکثر و اanhنا حداقل در شناسایی لندفرم‌های بدون شیب مانند گودال‌ها و قله‌ها نقش مهمی دارند. در لایه‌ی اanhنای حداکثر در یک نقطه از زمین حداکثر اanhنا موجود در یک امتداد مشخص از سطح زمین شناسایی شده و نوع آن از نظر محدب، مقعر و یا مستقیم بودن مشخص می‌شود. لایه اanhنای حداقل نیز اanhنای زمین را در جهت عمود بر امتداد اanhنای حداکثر نشان می‌دهد. ترکیب این دو لایه با یکدیگر در زمین‌های بدون شیب باعث ایجاد ۵ لندفرم در سطح زمین می‌شود (جدول ۱). که با توجه به نوع محدب یا مقعر بودن اanhنا در سطح آنها در تولید رواناب نقش مهمی دارند. در شکل (۱۴) نقشه‌ی لندفرم‌های منطقه نشان داده شده‌اند. با توجه به توپوگرافی کوهستانی که منطقه مورد مطالعه دارد اکثر لندفرم‌ها از نوع لندفرم‌های شیبدار هستند. لندفرم‌های بدون شیب مانند دشت‌ها عمدتاً در بخش شمال‌شرقی منطقه تمرکز دارند با این حال در کل منطقه به صورت پراکنده این نوع از لندفرم را می‌توان مشاهده کرد. دامنه‌های مسطح شیبدار با ۲۳ درصد از مساحت منطقه بیشترین فراوانی را از نظر وسعت دارا بوده و حوضچه‌ها و دره‌های کوچک شانه‌ای از کمترین فراوانی برخوردارند.

مسئله‌ی دیگر در بحث سیل خیزی موضوع جنس زمین و پوشش آن است که در سیل خیزی یک منطقه بسیار تأثیرگذار است. با توجه به آتشفشاری بودن منطقه‌ی مورد مطالعه و نوع سنگ‌های غالب، در بخش‌های مختلف آن می‌توان سنگ‌هایی با نفوذپذیری پایین را مشاهده کرد که با افزایش ضربی تولید رواناب باعث افزایش سیل

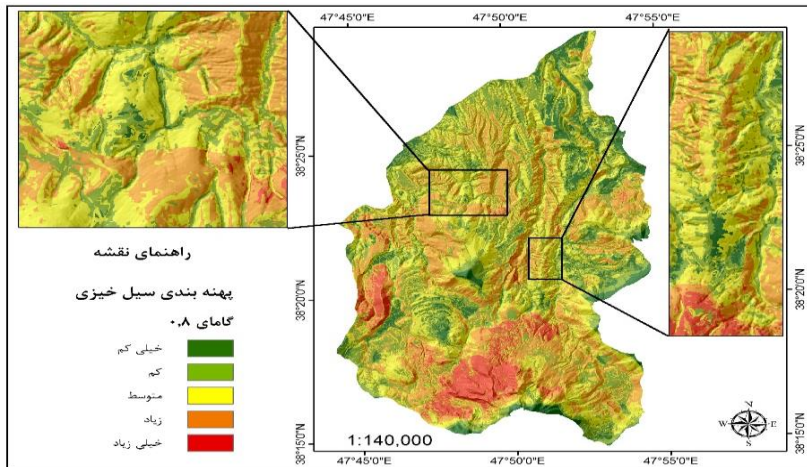
خیزی در این منطقه می‌شود برای مثال می‌توان به بخش‌های جنوبی منطقه‌ی مورده مطالعه اشاره کرد که عمدتاً از نوع سنگ‌های آندوزیت، داسیت و تراکیت پورفیری می‌باشد. در منطقه‌ی مورده مطالعه تراکم شبکه‌ی آبراهه با توجه به پوشش سنگی از درجه تراکم کمتری نسبت به مناطق دیگر برخوردار است. دامنه‌های شمالی سبلان به نسبت دامنه‌های جنوبی آن از بارش و رطوبت بیشتر و نورگیری کمتری برخوردار است، با توجه به این امر تراکم پوشش گیاهی در بیشتر مناطق از شرایط مناسبی برخوردار بوده و به غیر از بخش‌های مرتفع و زمین‌های با پوشش سنگی در اکثر بخش‌های حوضه می‌توان زمین‌هایی با کاربری مرتع متوسط تا خوب را مشاهده کرد که همین موضوع تأثیر زیادی در افزایش نفوذپذیری و کاهش تولید رواناب دارد. با توجه به این امر برای تهییه نقشه‌ی پهنه‌بندی سیل خیزی از منطقه، در کنار لایه لندفرم‌ها از لایه‌های دیگری همچون جنس سازند، تراکم پوشش گیاهی، بارش، تراکم شبکه‌ی آبراهه و کاربری زمین نیز استفاده شد.



شکل (۱۴) نقشه‌ی لندفرم‌های عمومی منطقه

لایه‌های فوق در ترکیب با هم جهت پهنه‌بندی سیل‌خیزی مورد استفاده قرار گرفتند. برای اینکار هر کدام از لایه‌ها بر اساس اهمیت و عملکردشان در سیل‌خیزی فازی‌سازی شدند. برای این کار لایه‌های رستری از طریق توابع فازی و لایه‌های وکتوری با وزن دهی بین ۰ تا ۱ استانداردشازی شدند. در نهایت با استفاده از گاماتی ۰/۸، لایه‌ها رویهم‌گذاری شده و نقشه پهنه‌بندی سیل‌خیزی منطقه به دست آمد (شکل ۱۵). نقشه به دست آمده بر اساس پتانسیل سیل‌خیزی در پنج پهنه با حساسیت خیلی کم، کم، متوسط زیاد و خیلی زیاد دسته‌بندی شد.

جهت مشخص کردن تأثیر لندفرم‌ها در سیل‌خیزی منطقه با استفاده از تحلیل‌های آماری-فضایی در نرم‌افزار Arcmap جدولی به شرح جدول (۱) تهیه شد. در این جدول (۱) درصد پهنه‌های سیل‌خیز در هر یک از لندفرم‌ها آورده شده است. طبق جدول (۱) لندفرم‌هایی که جز سطوح هموار و بدون شیب هستند عمدتاً به عنوان مناطق با پتانسیل سیل‌خیزی خیلی کم و کم پهنه‌بندی شده‌اند. برای مثال ۹۸ درصد از مساحت لندفرم‌های دشتی در مناطق با سیل‌خیزی خیلی کم و کم قرار گرفته‌اند و این نشانگر تأثیر مورفومتری این لندفرم‌ها در کاهش تولید رواناب و سیل است. در لندفرم‌های دیگر این گروه نیز به همین شکل است و درصد طبقات با خطر متوسط، زیاد و خیلی زیاد در آنها معمولاً صفر یا نزدیک صفر است. در این لندفرم‌ها به دلیل داشتن شیب کم و احناکی مقعر نگهداشت و جذب آب بیشتر است و آب‌ها قادر هستند بهتر در زمین نفوذ کرده و رواناب کمتری تولید کنند. در این گروه دشت‌ها و چاله‌ها به دلیل نگهداشت آب کمترین خطر سیل‌خیزی کمتری را دارا هستند. در منطقه‌ی مورد مطالعه بر اساس لایه‌ی بارندگی مقدار متوسط بارش سالانه در مناطق جنوبی بیشتر از سایر مناطق است با این حال در این مناطق نیز لندفرم‌های اشاره شده در بالا عمدتاً به صورت مناطق با سیل‌خیزی کم و خیلی کم معرفی شده‌اند.



شکل (۱۵) نقشه‌ی پهنه‌بندی پتانسیل سیل خیزی دامنه‌های شمالی سبلان

در دسته‌ی لندفرم‌های شیب دار هر چند همه این لندفرم‌ها شیب بالایی دارند با این وجود به دلیل اختلاف در نوع انحنا، اثرگذاری آنها در سیل خیزی یکسان نیست. در این گروه لندفرم دره‌های کوچک کوهستانی (Hollow) و شانه‌های خطالراس (Shoulder) به ترتیب  $\frac{3}{9}$  و  $\frac{6}{9}$  درصد از مساحت‌شان در طبقات با سیل خیزی زیاد و خیلی زیاد قرار دارد. علت این امر در نوع انحنا پروفایل و پلان است در لندفرم دره‌های کوچک انحنا پلان به شکل مقعر و انحنا پروفایل به صورت مستقیم است که در کنار شیب بیشتر زمین یک شرایط ایده‌آل را برای تولید رواناب زیاد فراهم می‌کند. هر جایی که در یک لندفرم انحنا پلان به شکل مقعر یا مستقیم و انحنا پروفایل به شکل محدب یا مستقیم هست سیل خیزی در آن نقطه در طبقات پرخطر قرار گرفته است.

لندفرم‌ها همچنین به صورت غیر مستقیم از طریق اثرگذاری در پارامترهای همچون عمق خاک، فرسایش‌پذیری و پوشش گیاهی می‌توانند در تولید رواناب و ایجاد سیل اثرگذار باشند. برای مثال در منطقه مورد مطالعه خطالراس‌ها و شانه‌های خط الراس به دلیل مورفومتری که دارند امکان نگهداشت آب کمتری دارند، همچنین امکان تراکم رسوبات و رویش گیاهان در آنها به نسبت سایر لندفرم‌ها کمتر است. تراکم پوشش

گیاهی کمتر در این مناطق و عمق خاک کمتر از عوامل مهم و تأثیرگذار در سیل خیزی این مناطق هستند و عمدتاً به صورت مناطقی با پتانسیل سیل خیزی متوسط و زیاد پهنه‌بندی شده‌اند.

جدول (۱) تحلیل آماری- فضایی از درصد سطوح خطر سیل خیزی در هر لندفرم

لندفرم	نام	توضیح	نام	توضیح	نام	توضیح	نام	توضیح
Plain	دشت		Peak	قله				
Pit	گودال	لندفرم‌های	Ridge	ستیخ	مسطح			
Channle	رودخانه							
Nose	دماغه							
Hollow Shoulder	دره کوچک شانه‌ای							
Spur Foot	پای خطالراس پهلوی	لندفرم‌های	Hollow Foot	دره کوچک پای دامنه	شیبدار			
Spur	خطالراس پهلوی							
Hollow	دره کوچک							
Shoulder	شانه خط الراس							
Foot Slope	کوهپایه							
Planar slope	دامنه‌های مستقیم							

### نتیجه‌گیری

لندفرم‌ها در هیدرولوژی یک منطقه به دو صورت مستقیم و غیرمستقیم تأثیرگذار هستند. اثر مستقیم آن از طریق مقدار شیب و نوع انحنای هر لندفرم کنترل می‌شود و می‌تواند در تولید رواناب و نفوذپذیری زمین مؤثر باشد. در تأثیر غیرمستقیم، لندفرم‌ها با اثرگذاری در مواردی همچون کاربری زمین، پوشش‌گیاهی و عمق خاک و رسوبات انباشته شده در دامنه‌ها می‌توانند هیدرولوژی یک منطقه را تحت تأثیر قرار دهند. در

منطقه‌ی مورد مطالعه بر اساس نتایج به دست آمده سه لندرم دره‌های کوچک کوهستانی (Hollow)، شانه‌های خطالراس (Shoulder) و دامنه‌های مستقیم (planar slope) در مقایسه با سایر لندرم‌ها بیشترین تأثیر را در سیل خیزی دارند و به ترتیب  $62/9$ ،  $67/3$  و  $53/2$  درصد از سطح آنها به عنوان زمین‌هایی با سیل خیزی زیاد و خیلی زیاد پهنه‌بندی شده است. هر سه این لندرم‌ها جز زمین‌های با شیب بالا هستند. در مقابل از بین گروه لندرم‌های مسطح و کم شیب دشت‌ها و چاله‌ها یا حوضچه‌ها به صورت مناطق کم خطر از نظر سیل خیزی پهنه‌بندی شده‌اند.

آنچه که در این پژوهش سعی شد مورد مطالعه قرار گیرد تأثیری بود که هر کدام از لندرم‌ها می‌توانند در سیل خیزی داشته باشند و اینکه بتوان به صورت کمی مقدار این اثرگذاری را نمایش داد. در این پژوهش در کنار لایه‌های مربوط به مورفومتری زمین، لایه‌های پوشش زمین همچون تراکم پوشش‌گیاهی، کاربری زمین، جنس سازندها و همچنین لایه بارش و تراکم شبکه‌ی آبراهه به عنوان عوامل مؤثر در سیل خیزی مورد استفاده قرار گرفتند. در منطقه‌ی مورد مطالعه قسمت زیادی از مناطق جنوبی علی‌رغم دریافت بارش بیشتر از مناطق شمالی در پهنه‌های با سیل خیزی کم و خیلی کم قرار دارند که این امر ناشی از مورفومتری خاص لندرم‌ها در این مناطق است که انعکاسی از تأثیر نوع لندرم در سیل خیزی است. از این‌رو می‌توان گفت هر چند مقدار بارش در تولید رواناب و ایجاد سیل تأثیر مستقیمی دارد ولی با این وجود آنچه که پهنه‌های مختلف زمین را از نظر ایجاد سیل و تولید رواناب از هم متمایز می‌سازد عوامل مربوط به پوشش زمین و مورفومتری آن است. به همین خاطر استخراج لندرم‌های یک منطقه و طبقه‌بندی آنها می‌تواند یک عامل کمکی مناسب به جهت شناسایی هر چه بهتر مناطق بحرانی از نظر تولید رواناب بیشتر و در نتیجه سیل خیزی باشد. با توجه به نتایج به دست آمده از پژوهش می‌توان گفت تولید رواناب و سیل خیزی در سطح زمین در صورت وجود شرایط یکسان از نظر مقدار بارش، پوشش زمین و لیتلولوژی تا حدود زیادی تحت تأثیر مورفومتری لندرم‌ها قرار دارد.

## منابع

- شایان، سیاوش؛ یمانی، مجتبی؛ فرجزاده، منوچهر و علی احمدآبادی (۱۳۹۱)، طبقه‌بندی نظارت شده لندفرم‌های ژئومورفولوژیکی مناطق خشک با استفاده از پارامترهای ژئومورفومتریک (نمونه موردی: منطقه مرنجاب)، *فصلنامه‌ی سنجش از دور و GIS*، شماره‌ی ۲ (پیاپی ۱۴)، صص ۲۸-۱۹.
- علایی طالقانی، محمود، (۱۳۸۴)، *ژئومورفولوژی ایران*، انتشارات قومس، چاپ دوم.
- فروغی‌فر، حامد؛ جعفرزاده، علی‌صغر؛ ترابی گل‌سفیدی، حسین و ناصر علی‌اصغرزاده (۱۳۹۰)، *تأثیر واحدهای لندفرم بر توزیع فراوانی و تغییرات مکانی ویژگی‌های بیولوژیکی خاک در دشت تبریز، دانش آب و خاک (دانش کشاورزی)*، شماره‌ی ۴، صص ۳۵-۵۲.
- Dehn, M., Gärtner, H., Dikau, R. (2001), **Principals of semantic modeling of landform structures**, Computers & Geosciences, No.27, PP,1011-1013.
- Dikau, R. (1989), **Entwurf einer geomorphographisch-analytischen Systematik von Reliefeinheiten**, Heidelberger Geographische Bausteine, Vol. 5, PP.45.
- Dikau, R., Brabb, E.E., Mark, R.K., Pike, R.J. (1995), **Morphometric Landform Analysis of New Mexico**, Zeitschrift für Geomorphologie, Supplementband, No. 101, PP.109–126.
- Drăguța, L, Eisanka, C, Strasser, T. (2010), **Local variance for multi-scale analysis in geomorphometry**, Geomorphology, Vol. 130, No.3–4, 15, PP.162–172.
- Evans, I.S. (1972), **General geomorphometry, derivatives of altitude, and descriptive statistics**. In: Chorley, R.J. (Ed.), *Spatial Analysis in Geomorphology*, Harper & Row, PP.17–90.
- Fisher, P., Wood, J. & Cheng, T. (2004), **Where is Helvellyn Fuzziness of multi-scale landscape morphometry**, Transactions of the Institute of British Geographers, No.1, PP.106-128.
- Leopold, L.B., Wolman, M.G., Miller, J.P. (1995), **Fluvial Processes in Geomorphology**, Dover, New York, PP.522.

- Lucian, Drăguț, Thomas Blaschke (2006), **Automated classification of landform elements using object-based image analysis**, Geomorphology, No.81, PP.30–344.
- MacMillan R.A. Shary P.A. (2008), **Landforms and Landform Elements in Geomorphometry** in: Hengl, T. and Reuter, H.I. (Eds), **Geomorphometry: Geomorphometry: Concepts, Software, Applications. Developments in Soil Science**, Vol. 33, PP.227-254.
- Mark, D. & Smith, B. (2004), **A science of topography: From qualitative ontology to digital representations**. In: M. Bishop and J. Shroder (eds), **Geographic Information Science and Mountain Geomorphology**, Springer, Berlin Heidelberg, PP.75-100.
- Nabil S.E, Moawad B.M. (2014), **A semi-automated approach for mapping geomorphology of El Bardawil Lake, Northern Sinai, Egypt using integrated remote sensing and GIS techniques**, The Egyptian Journal of Remote Sensing and Space Sciences , Vol. 17, No. 1, PP.41–60.
- Pedersen, G.B.M. (2016), **Semi-automatic classification of glaciovolcanic landforms: An object-based mapping approach based on geomorphometry**, Journal of Volcanology and Geothermal Research, Vol. 311, PP.29–40.
- Pike, R.J., Evans, I.S., Hengl, T. (2008), **Geomorphometry: a Brief Guide**. In: Hengl, T. and Reuter, H.I. (Eds), **Geomorphometry: Geomorphometry: Concepts, Software, Applications, Developments in Soil Science**, Vol. 33, PP.1-28.
- Pike, R.J. (2000), **Geomorphometry diversity in quantitative surface analysis**, Progress in Physical Geography, Vol. 24, No. 1, PP.1–20.
- Pike, R.J. (1995), **Geomorphometry progress, practice, and prospect**. *Zeitschrift für Geomorphologie* ,Supplementband, Vol. 101, PP.221–238.
- Scheidegger, A.E. (1991), **Theoretical Geomorphology**, 3rd edition, Springer-Verlag, Berlin, PP.434.
- Seib, N., Kley, J., Büchel, G. (2013), **Identification of maars and similar volcanic landforms in the West Eifel Volcanic Field through image**

**processing of DTM data: efficiency of different methods depending on preservation state,** Int. J. Earth Sci., Vol. 102, No.3, PP.875–901.